

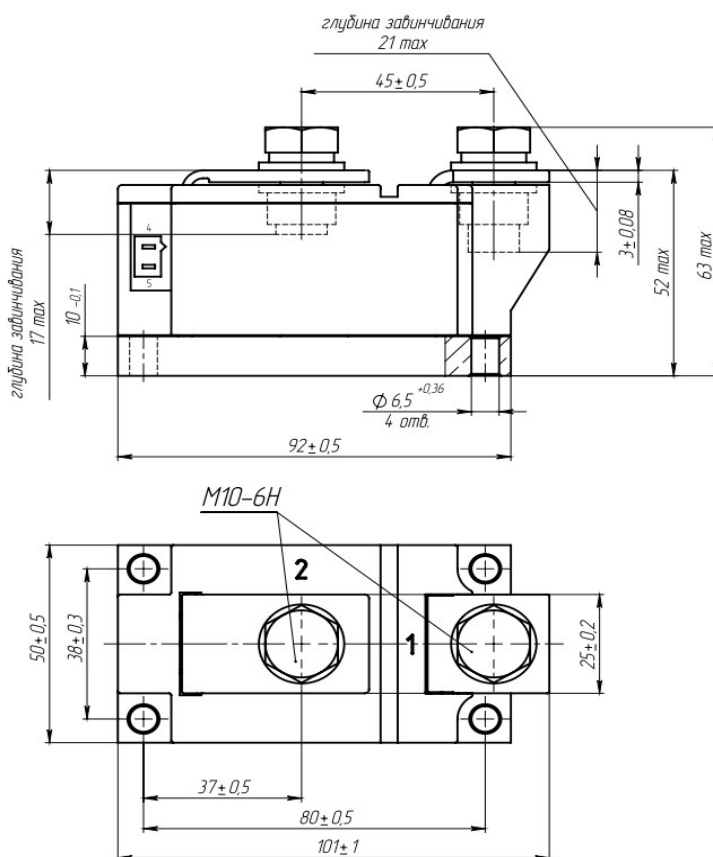
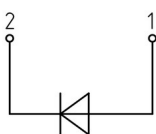


Изолированное основание
Корпус промышленного стандарта
Упрощенная механическая конструкция,
быстрая сборка
Прижимная конструкция

Однопозиционный Диодный Модуль МД1-540-36-В0

Средний прямой ток		I_{FAV}	540 A	
Повторяющееся импульсное обратное напряжение		U_{RRM}	3000...3600 В	
U_{RRM} , В	3000	3200	3400	3600
Класс по напряжению	30	32	34	36
T_j , °C	-40...+150			

МД1



ПРЕДЕЛЬНО ДОПУСТИМЫЕ ЗНАЧЕНИЯ ПАРАМЕТРОВ

Обозначение и наименование параметра		Ед. изм.	Значение	Условия измерения	
Параметры в проводящем состоянии					
I_{FAV}	Максимально допустимый средний прямой ток	А	540	$T_c=100\text{ }^\circ\text{C};$ 180 эл. град. синус; 50 Гц	
I_{FRMS}	Действующий прямой ток	А	848		
I_{FSM}	Ударный ток	кА	14.0 16.0	$T_j=T_{j\max}$ $T_j=25\text{ }^\circ\text{C}$	180 эл. град. синус; $t_p=10\text{ мс};$ единичный импульс; $U_R=0\text{ В};$
			15.0 17.0	$T_j=T_{j\max}$ $T_j=25\text{ }^\circ\text{C}$	180 эл. град. синус; $t_p=8.3\text{ мс};$ единичный импульс; $U_R=0\text{ В};$
I^2t	Защитный показатель	$A^2c\cdot 10^3$	980 1280	$T_j=T_{j\max}$ $T_j=25\text{ }^\circ\text{C}$	180 эл. град. синус; $t_p=10\text{ мс};$ единичный импульс; $U_R=0\text{ В};$
			930 1190	$T_j=T_{j\max}$ $T_j=25\text{ }^\circ\text{C}$	180 эл. град. синус; $t_p=8.3\text{ мс};$ единичный импульс; $U_R=0\text{ В};$
Блокирующие параметры					
U_{RRM}	Повторяющееся импульсное обратное напряжение	В	3000...3600	$T_{j\min} < T_j < T_{j\max};$ 180 эл. град. синус; 50 Гц	
U_{RSM}	Неповторяющееся импульсное обратное напряжение	В	3100...3700	$T_{j\min} < T_j < T_{j\max};$ 180 эл. град. синус; единичный импульс	
U_R	Постоянное обратное напряжение	В	$0.6 \cdot U_{RRM}$	$T_j=T_{j\max};$	
Тепловые параметры					
T_{stg}	Температура хранения	$^\circ\text{C}$	-40...+50		
T_j	Температура р-п перехода	$^\circ\text{C}$	-40...+150		
$T_{c\text{оп}}$	Рабочая температура корпуса	$^\circ\text{C}$	-40...+125		
Механические параметры					
a	Ускорение	$\text{м}/\text{с}^2$	50		

ХАРАКТЕРИСТИКИ

Обозначение и наименование характеристики		Ед. изм.	Значение	Условия измерения		
Характеристики в проводящем состоянии						
U_{FM}	Импульсное прямое напряжение, макс	В	1.75	$T_j=25\text{ }^\circ\text{C}; I_{FM}=1696\text{ А}$		
$U_{F(TO)}$	Пороговое напряжение, макс	В	0.957	$T_j=T_{j\max};$		
r_T	Динамическое сопротивление, макс	МОм	0.547	$0.5 \pi I_{FAV} < I_T < 1.5 \pi I_{FAV}$		
Блокирующие характеристики						
I_{RRM}	Повторяющийся импульсный обратный ток, макс	мА	50	$T_j=T_{j\max};$ $U_R=U_{RRM}$		
Тепловые характеристики						
R_{thjc}	Тепловое сопротивление р-п переход-корпус, макс		на модуль	$^\circ\text{C}/\text{Вт}$	0.0550	
						R_{thch}
180 эл. град. синус; 50 Гц						
Характеристики изоляции						
U_{ISOL}	Электрическая прочность изоляции	кВ	7.00	синус; 50 Гц;	действующее значение	t=1 мин
			8.40			t=1 с
Механические характеристики						
M_1	Момент затяжки основания ($M6$) ¹⁾	Нм	6.00	Допуск $\pm 15\%$		
M_2	Момент затяжки выводов ($M10$) ¹⁾	Нм	12.00	Допуск $\pm 15\%$		
m	Масса, макс	г	900			

МАРКИРОВКА										ПРИМЕЧАНИЕ
МД	1	-	540	-	36	-	В0	-	У2	1) Резьба должна быть смазана
1	2		3		4		5		6	
1. МД – Диодный Модуль 2. Схема включения 3. Средний прямой ток, А 4. Класс по напряжению 5. Тип корпуса (М.В0) 6. Климатическое исполнение по ГОСТ 15150: У2										

Содержащаяся здесь информация является конфиденциальной и находится под защитой авторских прав. В интересах улучшения качества продукции, АО «Протон-Электротекс» оставляет за собой право изменять информационные листы без уведомления.

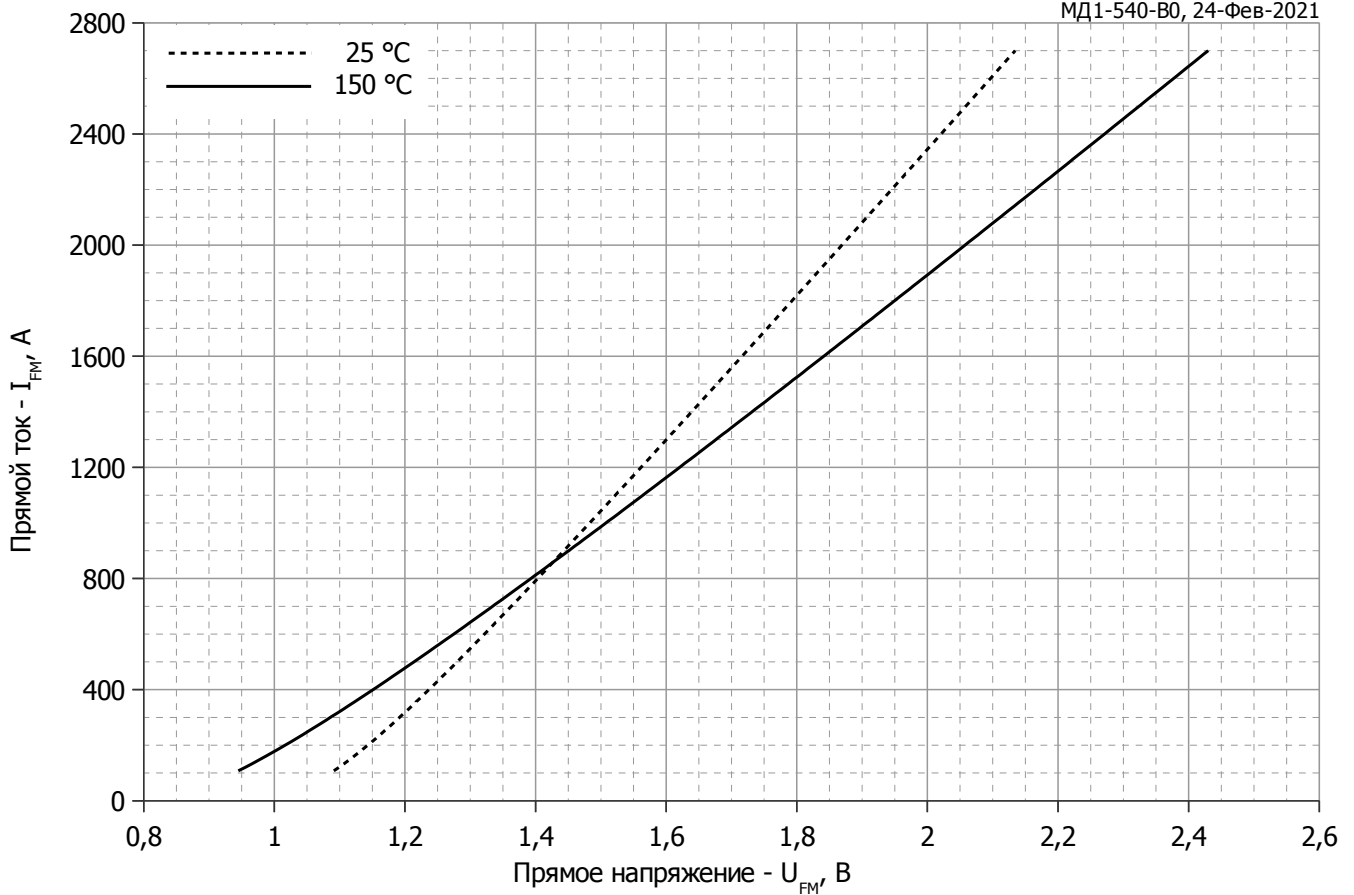


Рис. 1 – Предельная вольт–амперная характеристика

Аналитическая функция предельной вольт — амперной характеристики:

$$U_F = A + B \cdot i_F + C \cdot \ln(i_F + 1) + D \cdot \sqrt{i_F}$$

	Коэффициенты для графика	
	$T_j = 25^\circ\text{C}$	$T_j = T_{j \max}$
A	0.90460530	0.77549176
B	0.00036946	0.00047075
C	0.03214195	0.01344477
D	-0.00041890	0.00533303

Модель предельной вольт – амперной характеристики (см. Рис. 1).

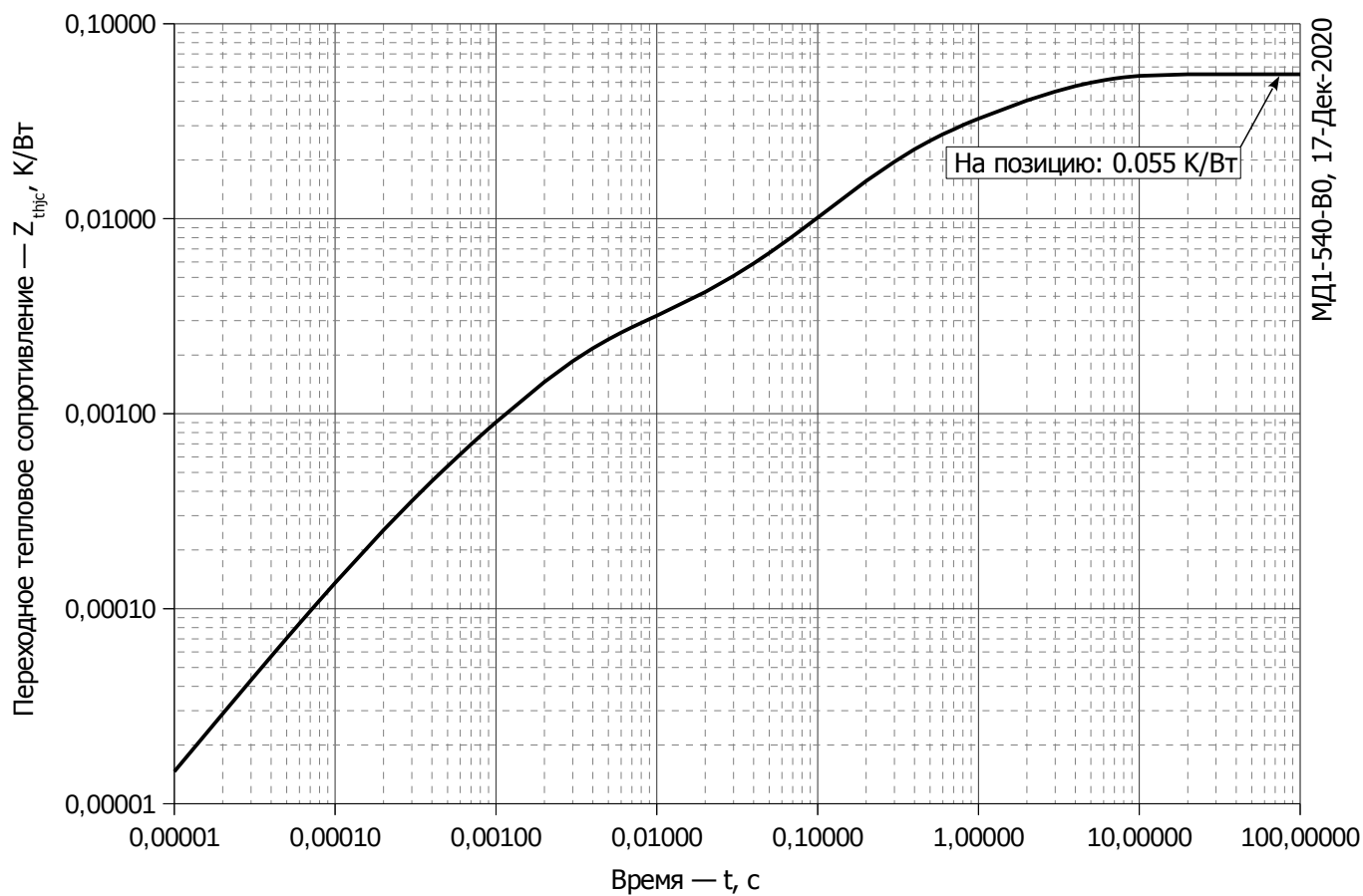


Рис. 2 – Зависимость переходного теплового сопротивления Z_{thjc} от времени t

Аналитическая зависимость переходного теплового сопротивления переход — корпус:

$$Z_{thjc} = \sum_{i=1}^n R_i \left(1 - e^{-\frac{t}{\tau_i}} \right)$$

Где $i = 1$ до n , n – число суммирующихся элементов.

t = продолжительность импульсного нагрева в секундах.

Z_{thjc} = Тепловое сопротивление за время t .

R_i, τ_i = расчетные коэффициенты, приведенные в таблице.

Постоянный ток

i	1	2	3	4	5	6
$R_i, \text{K/W}$	0.0249	0.0112	0.01635	0.0006528	0.001791	0.0001363
τ_i, c	3.132	1.000	0.2335	0.01038	0.002348	0.0002448

Модель переходного теплового сопротивления переход - корпус (см. Рис. 2)

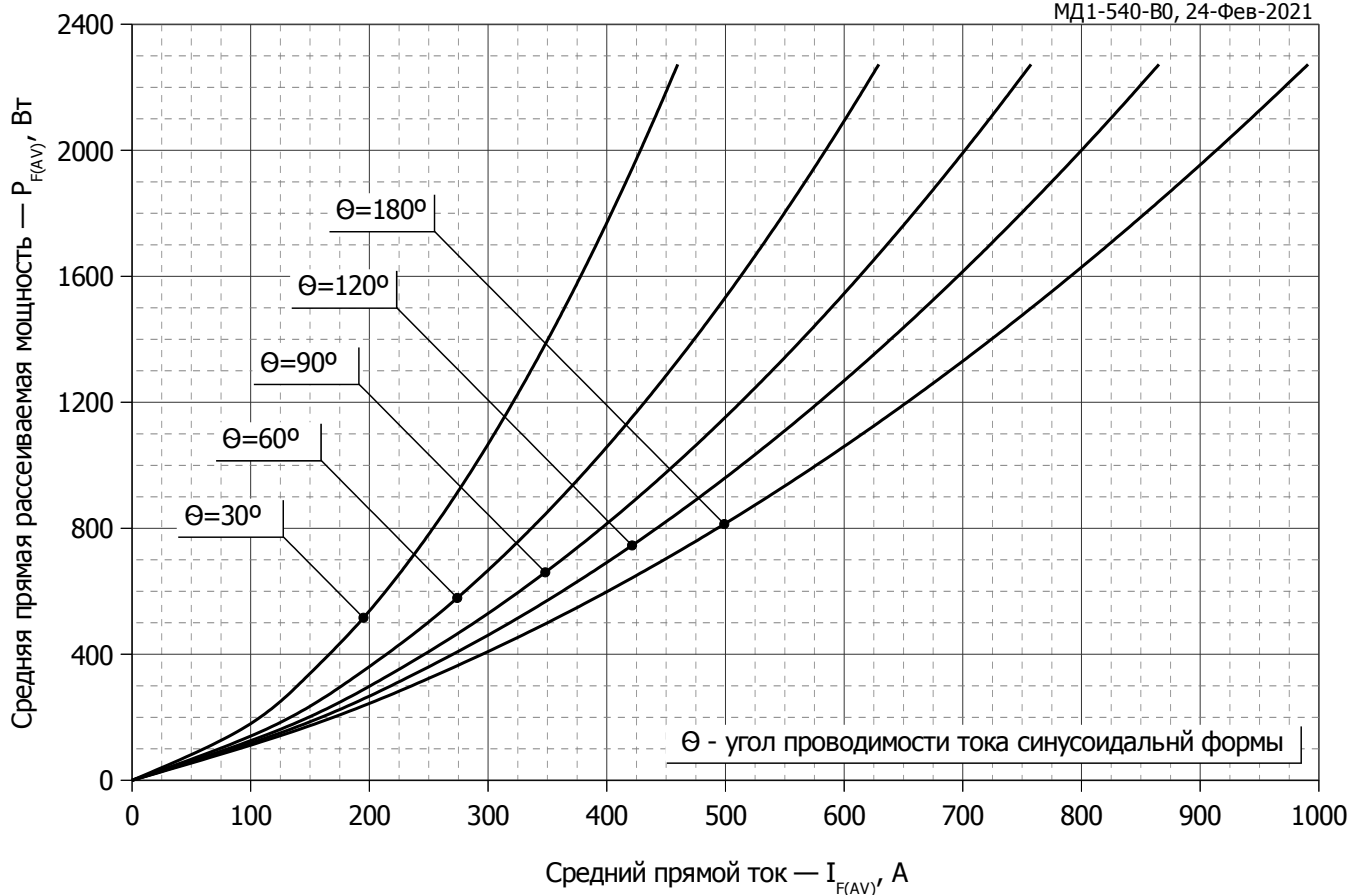


Рис. 3 - Зависимость потерь мощности P_{FAV} от среднего прямого тока I_{FAV} синусоидальной формы при различных углах проводимости ($f=50$ Гц, двустороннее охлаждение)

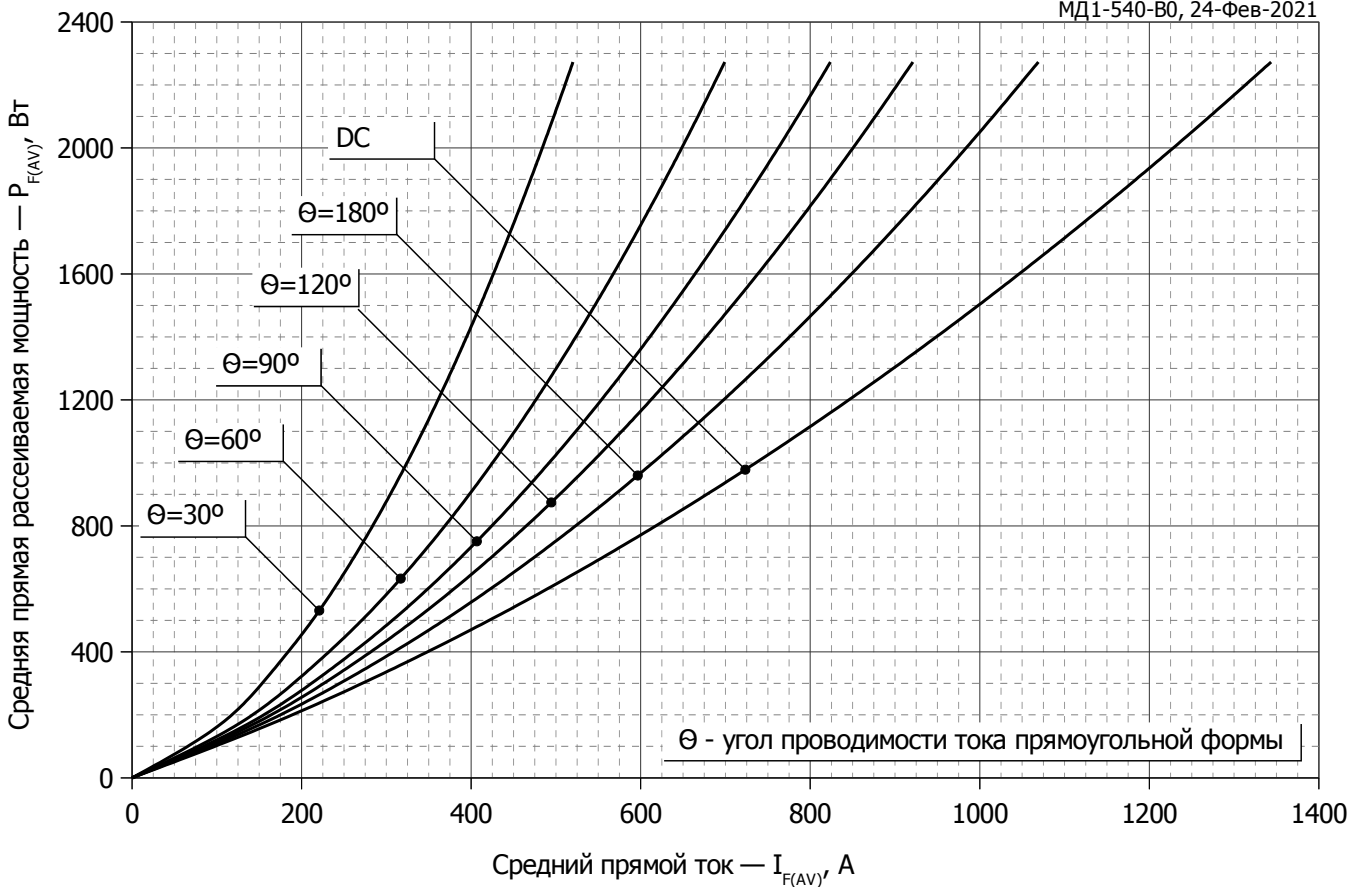


Рис. 4 – Зависимость потерь мощности P_{FAV} от среднего прямого тока I_{FAV} прямоугольной формы при различных углах проводимости ($f=50$ Гц, двустороннее охлаждение)

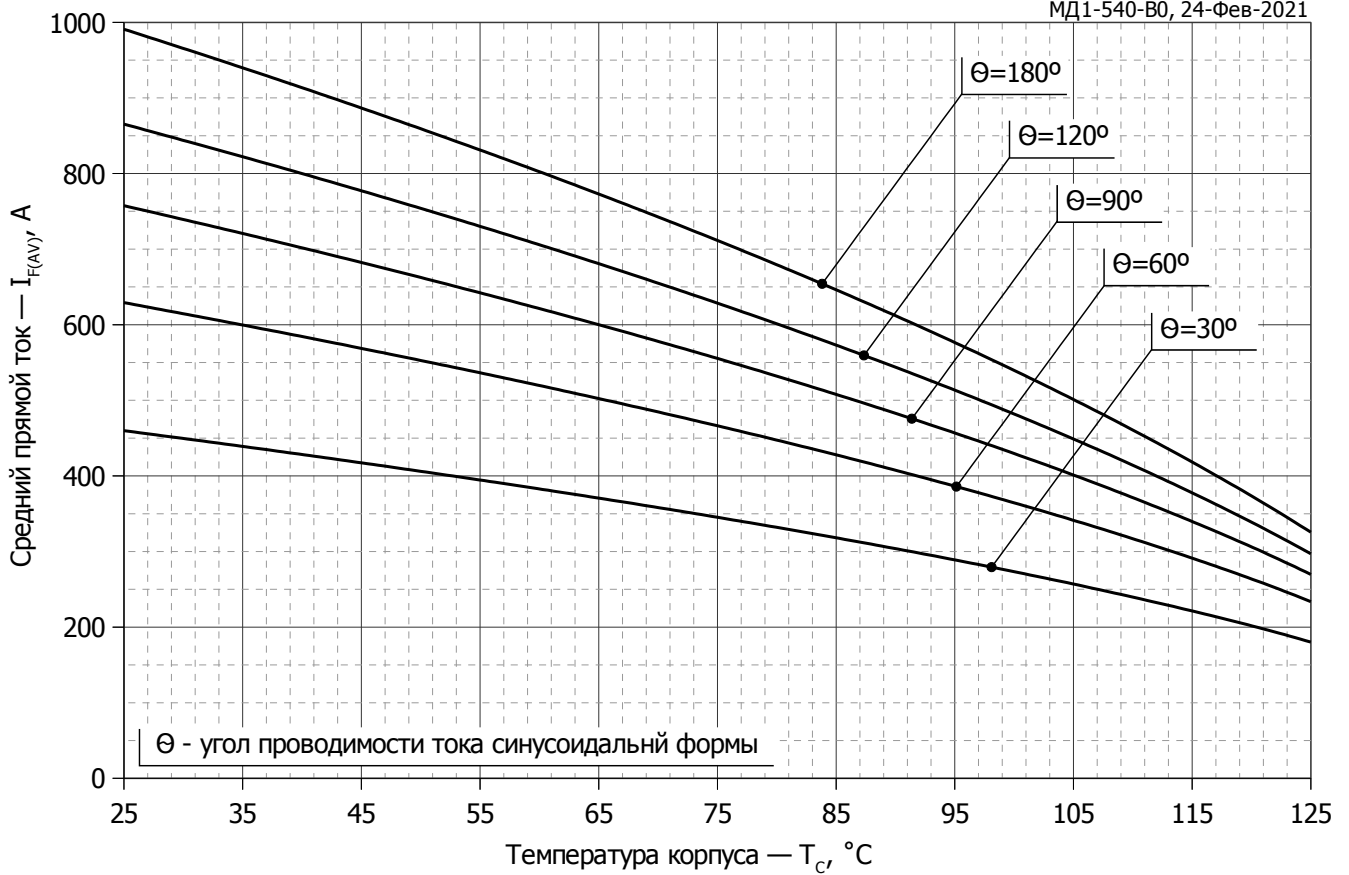


Рис. 5 – Зависимость среднего прямого тока I_{FAV} от температуры корпуса T_c для синусоидальной формы тока при различных углах проводимости ($f=50$ Гц, Двустороннее охлаждение)

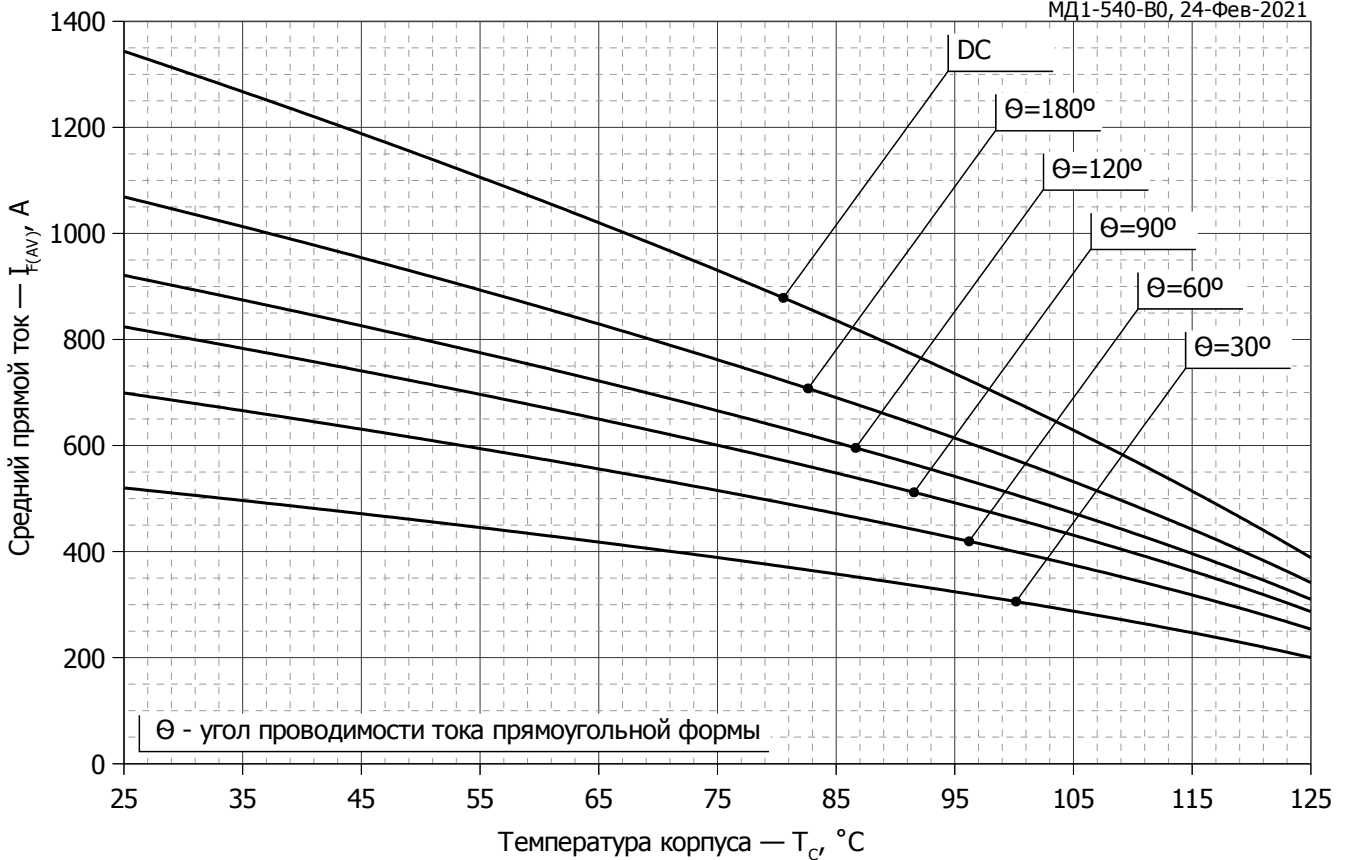


Рис. 6 - Зависимость среднего прямого тока I_{FAV} от температуры корпуса T_c для прямоугольной формы тока при различных углах проводимости ($f=50$ Гц, Двустороннее охлаждение)

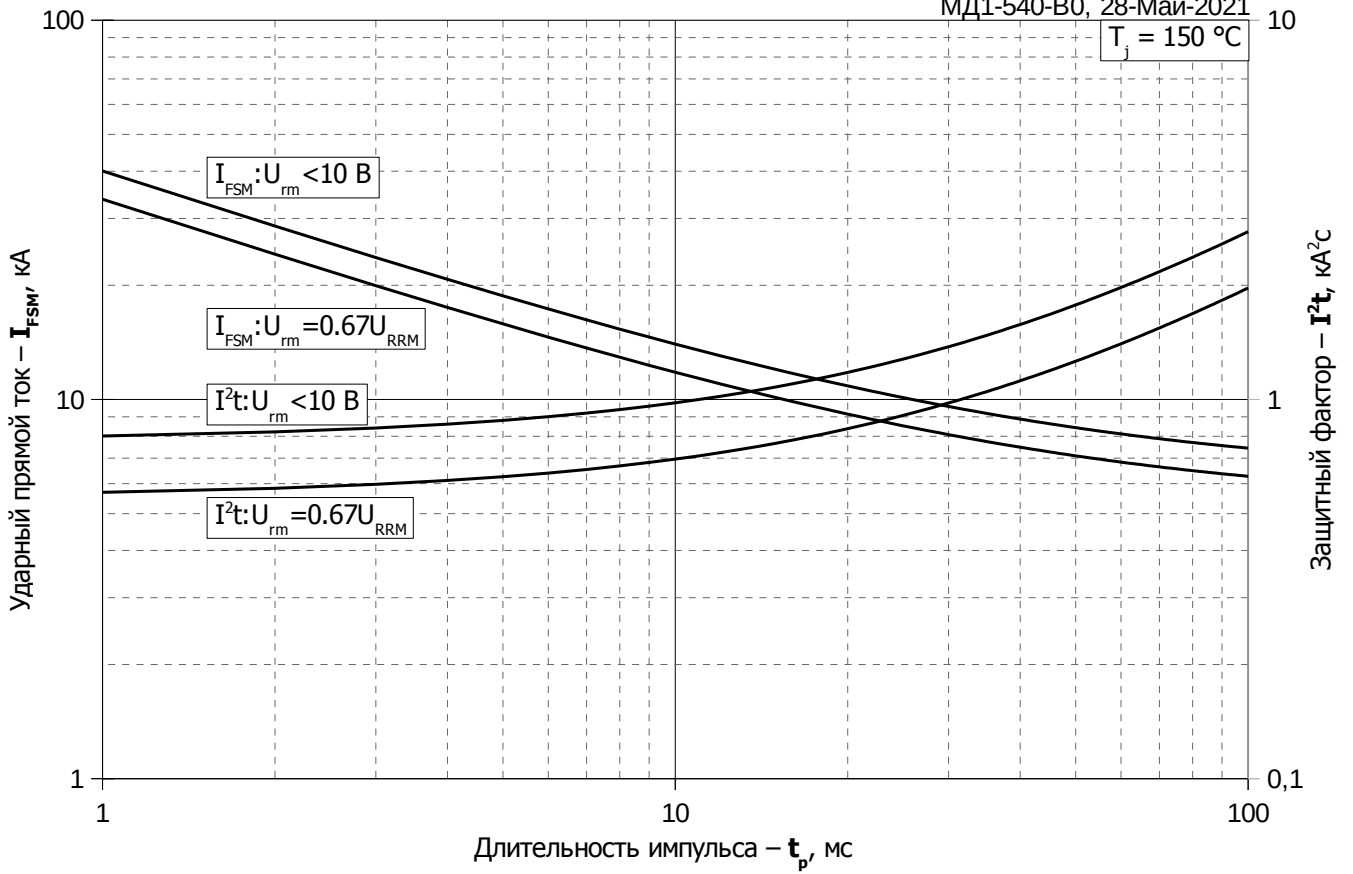


Рис. 7 – Зависимость максимальной амплитуды ударного прямого тока I_{FSM} и защитного фактора I^2t от длительности импульса t_p

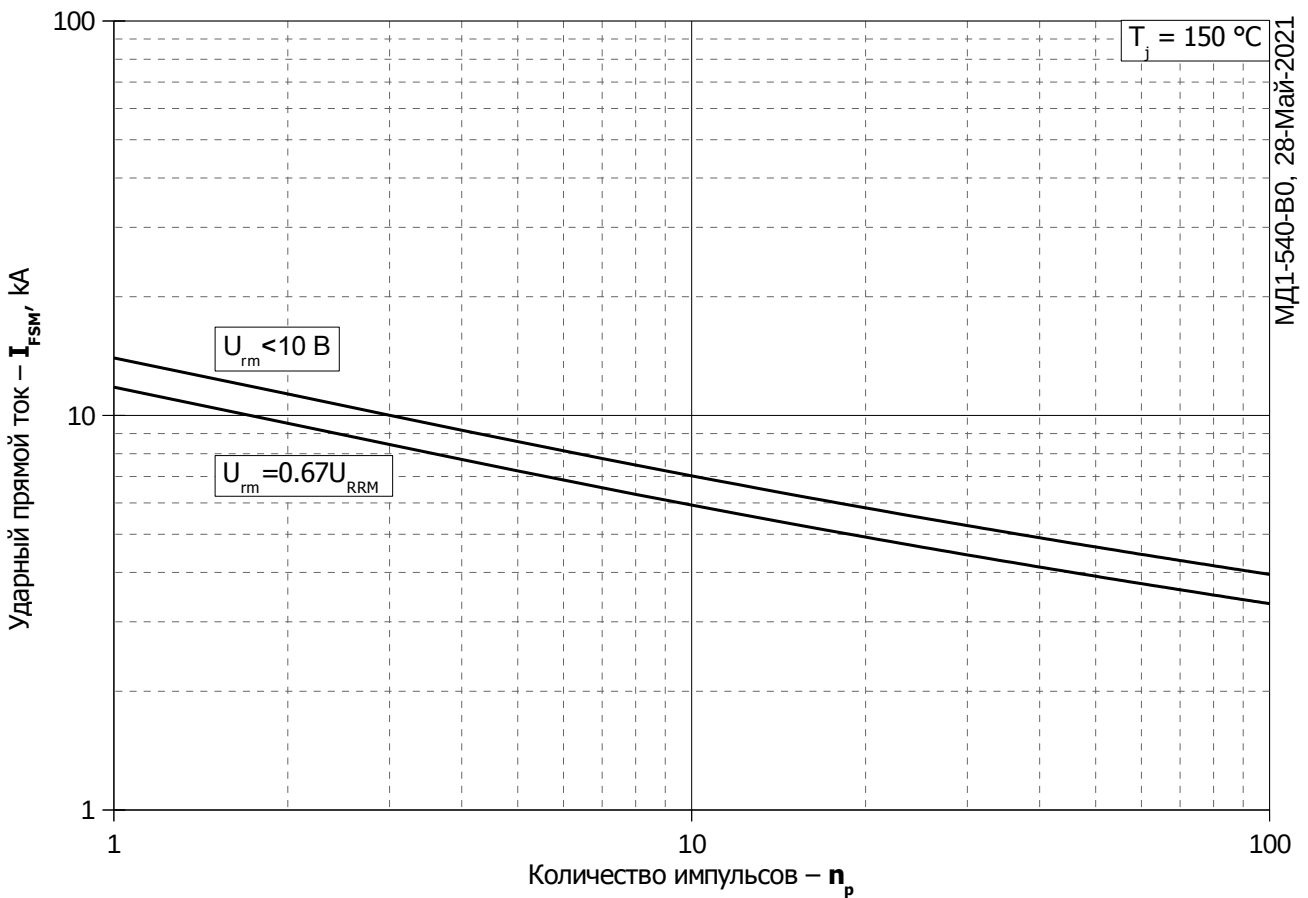


Рис. 8 – Зависимость максимальной амплитуды ударного прямого тока I_{FSM} от количества импульсов n_p